

СООБЩЕНИЯ
ОБЪЕДИНЕННОГО
ИНСТИТУТА
ЯДЕРНЫХ
ИССЛЕДОВАНИЙ

Дубна

97-33

P17-97-33

Е.Н.Магар

ПОИСК СОЛИТОННЫХ РЕШЕНИЙ
В МОДЕЛИ ДИПОЛЬНЫХ ЦЕПЕЙ
С ПОМОЩЬЮ НЕПРЕРЫВНОГО АНАЛОГА
МЕТОДА НЬЮТОНА

1997

Исследуемое в данной работе уравнение описывает взаимодействие диполей, входящих в состав цепочек, являющихся основной составной частью многих физических моделей в физике твердого тела (так, простая модель цепей служит для исследования на молекулярном уровне ферроэлектрических кристаллов, одномерных органических полимерных цепей и других упорядоченных структур). Для описания таких цепочек часто применяются различные обобщения модели \sin -Гордон ([1], [2]). Модель, предложенная в работе [1], учитывает центральное взаимодействие между отдельными зарядами, входящими в состав соседних диполей.

Несмотря на мощность применяемых методов, аналитический поиск решений солитонных уравнений весьма сложен. Как правило, он включает в себя тесты Пенлеве, Уолквиста-Эстабрука, исследование алгебраической структуры, построение соответствующих уравнений Лакса, введение дополнительных вспомогательных функций, типа τ -функции и т.п. [3, 4]. Даже при комбинировании аналитических и численных методов поиск солитонных решений довольно громоздок [5].

В связи с этим широкое применение получили численные методы решения НДУЧП. В данной работе используется численный метод решения НДУЧП - НАМН, предложенный в [6] и развитый в [7, 8]. Остановимся кратко на этом численном методе. Детальное и математически обоснованное изложение этого метода можно найти в обзоре [9].

Пусть $\varphi(u)$ является нелинейным достаточно гладким оператором, переводящим действительное банахово пространство X в действительное банахово пространство Y . Пусть требуется решить уравнение

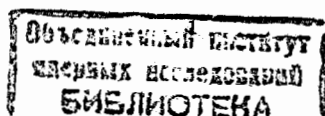
$$\varphi(u) = 0, \quad (1)$$

т.е. найти такой элемент $u \in X$, который с помощью оператора $\varphi(u)$ переводится в элемент, являющийся нулем. Пусть в некоторой окрестности решения u^* уравнения (1) функция φ дважды непрерывно дифференцируема, а оператор (φ') непрерывно обратим.

Как известно, НАМН описывается дифференциальным уравнением

$$\frac{d\varphi(u(t))}{dt} = -\varphi(u(t)), \quad (2)$$

($t, 0 \leq t < \infty$ - некоторый дополнительный непрерывный параметр) с начальным условием $u(0) = u_0$.



Как показано в [6, 7], при указанных выше ограничениях на функцию φ и ее производные и при удачном выборе функции u_0 эволюционный процесс (1) сходится, т.е.

$$\lim_{t \rightarrow \infty} u(t) = u^*.$$

Перепишем уравнение (2) в виде

$$\varphi'_u u'_t = -\varphi(u).$$

Отсюда получаем задачу Коши для функции u

$$u'_t = -(\varphi'_u(u))^{-1} \varphi(u).$$

$$u|_{t=0} = u_0(x). \quad (3)$$

Введем обозначение

$$v = \frac{\partial u(x, t)}{\partial t}.$$

Дискретизация по параметру t задачи (3) осуществляется методом Эйлера, который приводит к итерационному процессу

$$\varphi'(u_n) v_n = -\varphi(u_n), \quad u_{n+1} = u_n + \tau_n v_n, \quad (4)$$

$$v_n = -(\varphi'(u_n))^{-1} \varphi(u_n), \quad n = 0, 1, \dots, 0 < \tau_n \leq 1.$$

При $\tau \equiv 1$ этот итерационный процесс совпадает с классическим методом Ньютона.

Далее использовался алгоритм выбора итерационного параметра, предложенного в [10] и обоснованного в [11]

$$\tau_k = \frac{\delta_{k-1}}{\delta_k} \tau_{k-1}, \quad (5)$$

где δ_k - невязка на k -м шаге итерации в НАМН.

В данной работе исследовалось НДУЧП, предложенное в работе [1]

$$u_{tt} = (A - \cos u) u_{xx} - (1 - \frac{1}{2} u_x^2) \sin u, \quad (6)$$

описывающее цепочки нейтральных диполей, колеблющихся возле некоторых начальных положений вдоль оси x . Рассмотрим стационарный случай

$$(A - \cos u) u_{xx} - (1 - \frac{1}{2} u_x^2) \sin u = 0. \quad (7)$$

Граничные условия имеют вид

$$\frac{du}{dx} \Big|_{x=-\infty} = \frac{du}{dx} \Big|_{x=+\infty} = 0. \quad (8)$$

Для нахождения уравнения для вспомогательной функции v применим формулу (2) НАМН. Заметим, что в ней t является некоторым произвольным параметром, а φ определяется из уравнения (7)

$$\varphi = (A - \cos u) u_{xx} - (1 - \frac{1}{2} u_x^2) \sin u - 0. \quad (9)$$

Используя формулы (2), (9), а также обозначение $v = u_t$, получаем уравнение для функции v

$$v_{xx} + p_k(x) v_x + q_k(x) v = -r_k(x), \quad (10)$$

где коэффициенты p_k, q_k и r_k определяются соотношениями

$$p_k(x) = \frac{u_x \sin u}{A - \cos u},$$

$$q_k(x) = \frac{u_{xx} \sin u - (1 - \frac{1}{2} u_x^2) \cos u}{A - \cos u}, \quad (11)$$

$$r_k(x) = -\frac{(A - \cos u) u_{xx} - (1 - \frac{1}{2} u_x^2) \sin u}{A - \cos u}.$$

Уравнение (10) линейное, поэтому к нему применим метод прогонки [12].

Численный эксперимент показывает, что оптимальным вариантом для поиска решения является отрезок $[-20; 20]$, шаг по x конечно-разностной схемы $h=0.1$, а параметр в уравнении (7) $A \geq 17$. Исходное значение $\tau_k = 10^{-1}$. В процессе дальнейшего счета шаг по t τ_k вычисляется по формуле (5). Пробная функция u_0 может быть выбрана в довольно произвольном виде, но так, чтобы процесс сошелся. В качестве примера возьмем функцию (рис.1)

$$u_0 = \begin{cases} -2.2 \arctg(x - 0.5) + \frac{\pi}{2}, & -20 < x \leq -5, \\ -1.6 \arctg(x - 5.8) + \frac{\pi}{2}, & -5 < x \leq 5, \\ -0.3 \arctg(x - 6.1) + \frac{\pi}{2}, & 5 < x \leq 20. \end{cases} \quad (12)$$

Функция $u_{k+1}(x)$ на каждом шаге итерации НАМН определялась по формуле

$$u_{k+1} = u_k + \tau_k v_k. \quad (13)$$

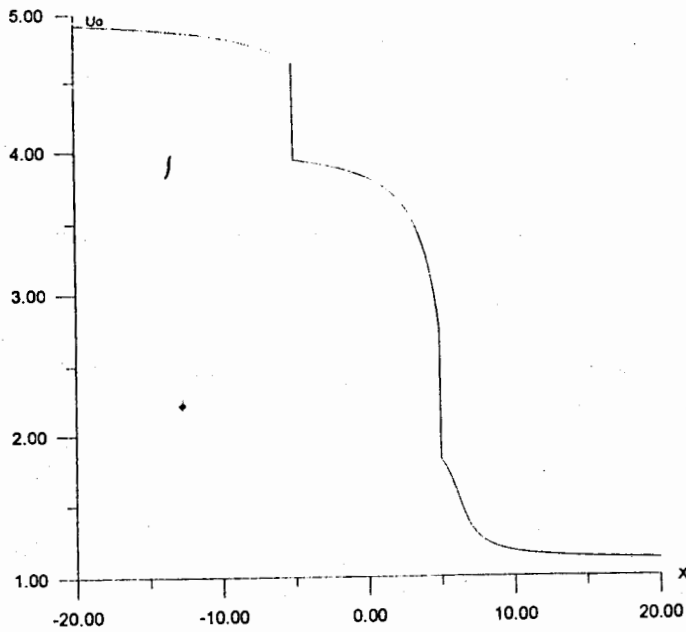


Рис.1

В результате найдено решение типа "кинка" уравнения (6) (невязка при этом составила 10^{-10}). График полученного решения представлен на рис.2.

Для нахождения процесса развития функции u_k во времени используем процедуру, предложенную в [13]. Следуя ей необходимо решить уравнение

$$u_{tt} = (A - \cos u)u_{xx} - (1 - \frac{1}{2}u^2)\sin u, \quad (14)$$

с начальными условиями

$$u(t, x)|_{t=0} = u^1(x); \quad u_t(t, x)|_{t=0} = u_t^1(x). \quad (15)$$

Введем обозначение

$$S(u) = (A - \cos u)u_{xx} - (1 - \frac{1}{2}u^2)\sin u. \quad (16)$$

Тогда уравнение (14) примет более компактный вид

$$u_{tt} = S(u). \quad (17)$$

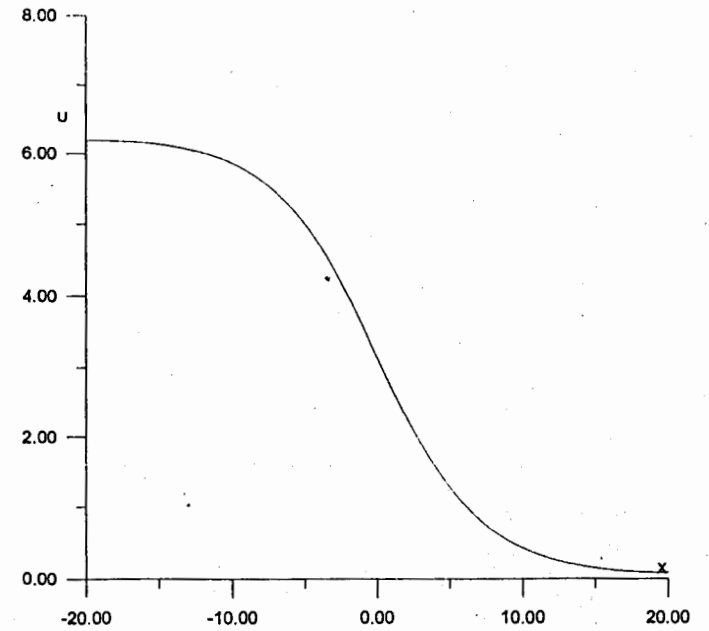


Рис.2

Воспользовавшись приближенными формулами для первой и второй производной функции u по времени, связывающей два (для первой) и три (для второй) последовательных момента

$$u_t^k \approx \frac{u^{k+1}(x) - u^k(x)}{\Delta t}, \quad (18)$$

$$u_{tt}^k \approx \frac{u^{k+1}(x) - 2u^k(x) + u^{k-1}(x)}{(\Delta t)^2} \quad (19)$$

(для k -го момента времени), и учитывая начальные условия (15) можно построить явную схему расчета развития функции u во времени.

$$u^1(x) \equiv u(t, x)|_{t=0},$$

$$u^2(x) = u^1(x) + u^1(x)\Delta t \equiv u(t, x)|_{t=0} + u_t(t, x)|_{t=0}\Delta t,$$

$$u^3(x) = 2u^2(x) - u^1(x) + S(u)(\Delta t)^2, \quad (20)$$

$$u^{k+1}(x) = 2u^k(x) - u^{k-1}(x) + S(u)(\Delta t)^2, \quad k = 3, \dots, NT - 1,$$

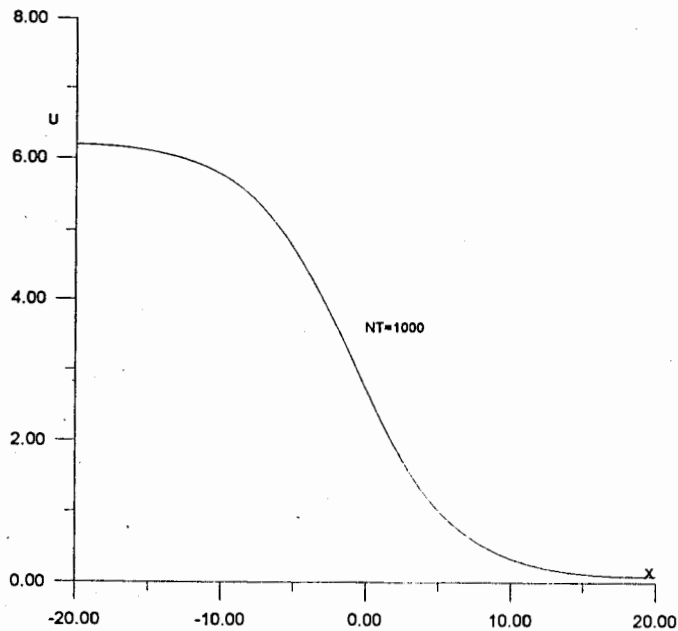


Рис.3

где NT - максимальное число шагов по времени. Подействуем на полученное статическое решение возмущением гладкого типа, удовлетворяющим граничным условиям, так что $u_t(t, x)|_{t=0} \Delta t = Bu_x(x) \Delta t \ll 2\pi$ (при $B=10^{-2}$ это возмущение мало по сравнению с размерами полученного "кинка"). Исследование процесса эволюции функции u_k показывает, что найденное решение устойчиво во времени. На рис.3 представлена форма "кинка" на последнем шаге явной схемы включения времени при $NT=1000$ и $\Delta t = 0.1$. Видно, что профиль решения не изменился.

Автор выражает глубокую благодарность проф. Пузынину И.В., проф. Жидкову Е.П., к.ф.-м.н. Робуку В.Н., к.ф.-м.н. Бабич И.М. и к.ф.-м.н. Амирханову И.В. за полезные обсуждения в процессе выполнения работы.

Литература

- [1] H.Zorski, E.Infeld. New Soliton Equation for Dipole Chains. *Physical Review Letters*, 1992, 68, N8, pp.1180-1183.
- [2] L.Vazquez, W.A.B.Evans, G.Rickayzen. Numerical investigation of a non-local sine-Gordon model. *Physics Letters A*, 1994, 189, 4 July, pp.454-459.

- [3] А.Ньюэлл. *Солитоны в математике и физике*, М., Мир. 1989.
- [4] H.D.Wahlquist, F.B.Estabrook. Bäcklund transformation for solutions of the Korteweg - de Vries equation. *Phys. Rev. Lett.*, 1973, 31, pp.1386-1390.
- [5] Е.Н.Магар, Ю.П.Рыбаков. Тяжелые солитоны в обобщенной спиновой электродинамике. *Известия ВУЗов. Физика*. 1989, 32, N10, с.97-100.
- [6] М.К.Гавурин. Нелинейные функциональные уравнения и непрерывные аналоги итеративных процессов. *Известия ВУЗов. Математика*. 1958, 5, N6, с.18-31.
- [7] Е.П.Жидков, И.В.Пузынин. Применение непрерывного аналога метода Ньютона для приближенного решения одной нелинейной граничной задачи. *Докл. АН СССР*. 1968, 180, N1, с.18-21.
- [8] Ф.А.Гареев, С.А.Гончаров, Е.П.Жидков и др. Численные решения задач на собственные значения для интегродифференциальных уравнений в теории ядра. *ЖВМ и МФ*. 1977, 17, N2, с.407-419.
- [9] Е.Р.Zhidkov, G.I.Makarenko and I.V.Puzynin. Continuous analog of Newton's method in nonlinear problems of physics. *Physics of Elementary Particles and Atomic Nuclei*, 4, 1973, N1, July-Sept., p.53-69.
- [10] И.В.Пузынин. Приближенное решение краевых задач для нелинейных обыкновенных дифференциальных уравнений второго порядка методом введения непрерывного параметра. *Дис. ... канд. физ.-матем. наук*. 1969, Дубна, ОИЯИ.
- [11] Т.Жанлав, И.В.Пузынин. О сходимости итераций на основе непрерывного аналога метода Ньютона. *ЖВМ и МФ*. 1992, 32, N6, с.846-856.
- [12] А.А.Самарский, Е.С.Николаев. *Методы решений сеточных уравнений*, М. Наука, 1978.
- [13] Р.Д.Рихтмайер. *Разностные методы решения краевых задач*, М. Иностр. лит., 1960.

Рукопись поступила в издательский отдел
5 февраля 1997 года.